

сформулировать требования к контрольно-измерительной аппаратуре для реализации АСУ ТП.

Для разработки комплексной модели рассматриваемого технологического процесса логично разделить его на следующие подпроцессы:

- 1) подготовка бетонной смеси, включающая дозирование и гомогенизацию компонентов;
- 2) укладка и формование бетонной смеси;
- 3) ускоренное твердение бетона.

Такое деление соответствует рациональной организации технологического процесса, позволяет определить и сгруппировать основные характеристики (факторы), влияющие на качество готового изделия.

Получено 29.08.2000

УДК 691.58.668.3

Э.Н.КУТОВОЙ, канд. техн. наук, А.В.ГЕЛЕТА

*Харьковский государственный технический университет
строительства и архитектуры*

ОСОБЕННОСТИ ОБРАЗОВАНИЯ В ЖЕЛЕЗОБЕТОННЫХ КОНСТРУКЦИЯХ ШПУРОВ ДЛЯ ЗАДЕЛКИ ПЛОСКИХ МЕТАЛЛИЧЕСКИХ АНКЕРОВ

Рассматриваются геометрические характеристики шпуров для закрепления в железобетоне kleями металлических анкеров прямоугольного сечения. Приведены зависимости для оценки относительного объема бетона, удалаемого бурением и разрушением перемычек, расчета их величины с учетом размеров анкера, определения межцентровых расстояний между цилиндрическими шпурами и их диаметров.

Технико-экономическая целесообразность применения анкеров, закрепляемых в готовых железобетонных конструкциях синтетическими kleями, подтверждена значительным опытом их использования при механомонтажных работах (закрепление технологического оборудования различного назначения на фундаментах [1-3 и др.]), а также при строительстве, реконструкции и ремонте зданий и сооружений (установка накладных и закладных металлических анкеров в эксплуатируемых или усиливаемых железобетонных конструкциях [4-7 и др.]).

В [8] показана возможность уменьшения глубины заделки kleевых анкеров за счет увеличения их контактной поверхности путем замены традиционных цилиндрических анкеров плоскими или профильными. Это позволяет применять анкеры практически любых сечений, а также устанавливать их в тонкостенных конструкциях.

Технологический процесс установки клеевых анкеров включает операции приготовления клея, анкера, образования шпура, установки анкера.

Наиболее трудоемкой операцией является образование в железобетоне шпуров. Цилиндрические шпуры выполняют пневмо- и электроперфораторами. Шпуры для плоских и профильных анкеров в настоящее время можно образовывать путем бурения нескольких близко расположенных цилиндрических шпуров с последующим разрушением перемычек между ними приводными рубильными молотками, шаберами и др. инструментами ударного действия.

Площадь сечения шпура под плоский анкер (рис.1) можно рассчитать по следующей формуле:

$$A_{ш} = L_1 D + \frac{\pi D^2}{4} = (n - 1)(D + t)D + \frac{\pi D^2}{4},$$

где $L_1 = (n - 1)(D + t)$.

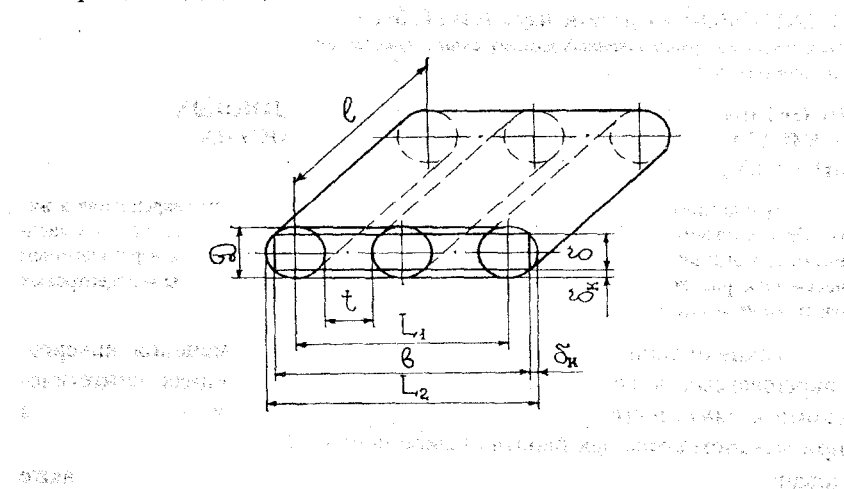


Рис.1 – Геометрические характеристики шпура под плоский анкер:
Д – диаметр цилиндрических шпуров; t – расстояние между шпурами (наименьшая толщина перемычек); L_1 – расстояние между крайними цилиндрическими шпурами;
 L_2 , b – ширина и глубина шпура; b , δ – ширина и толщина клеевого плоского анкера;
 δ_k – толщина клеевой прослойки

Объем бетона, удаляемого бурением n цилиндрических шпуров,

$$V_u = \frac{\pi D^2}{4} nl, \quad (1)$$

удаляемого разрушением перемычек между шпурами

$$V_n = [L_1 D - (n-1) \frac{\pi D^2}{4}] l = (n-1)[(D+t)D - \frac{\pi D^2}{4}] l. \quad (2)$$

Суммарный объем бетона, удаляемого из массива (конструкции) для образования шпура при установке плоского kleевого анкера,

$$V_w = V_u + V_n. \quad (3)$$

Расстояние между шпурами t , как показали проведенные нами эксперименты, целесообразно принимать в диапазоне от $t=0,25D$ до $t=0,7D$ в зависимости от ширины анкера δ . Если $t < 0,25D$, то при бурении цилиндрических шпуров происходит раннее разрушение перемычек между шпурами (до достижения заданной глубины шпура), сопровождающееся отклонением бура от оси шпура. При $t > 0,75D$ возрастает трудоемкость и продолжительность разрушения перемычек.

В [9] показано, что толщина kleевой прослойки из высоконаполненного эпоксидного компаунда не оказывает существенного влияния на прочность kleевого соединения. Это же относится и к акриловым kleям [6, 7]. В этих исследованиях толщина прослойки принималась 2, 4, 6 и 8 мм. Проведенные нами эксперименты свидетельствуют, что в целях экономии kleя и надежного предварительного закрепления плоского анкера в шпуре (до отверждения kleя) целесообразно принимать толщину анкера

$$\delta = D \sin \frac{180^\circ}{4} = 0,7976D \approx 0,8D. \quad (4)$$

Тогда толщина kleевой прослойки $\delta_k = 0,1D$, а расстояние между крайними цилиндрическими шпурами (см. рис.1)

$$l_1 = (n-1)(D+t) + \delta = \delta - \delta. \quad (5)$$

Если условно принять $A_u=1$, то $D=\sqrt{4/\pi}=1,128$, площадь попечного сечения n шпуров $A_u=n$. Рассчитанные при этих условиях зависимости V_u , V_n , V_w , δ , L_1 от величины t для $n=3$ и $l=5D$ приведены на рис.2.

При $t_1=0,25D$ объем перемычек составляет 28% от объема шпура V_w . При $t_4=D$ он увеличивается до 51%. Общий объем шпура возрастает на 45% и вызывает существенное удлинение сроков работ и повышение их трудоемкости. При этом возникает необходимость неоправданного увеличения ширины анкера (на 36%). Отсюда очевидна целесообразность принимать минимальные значения t . Использованный нами кондуктор-шаблон, фиксирующийся в двух образованных в

первую очередь крайних шпурах, позволяет уменьшить t до (0,15-0,2)Д.

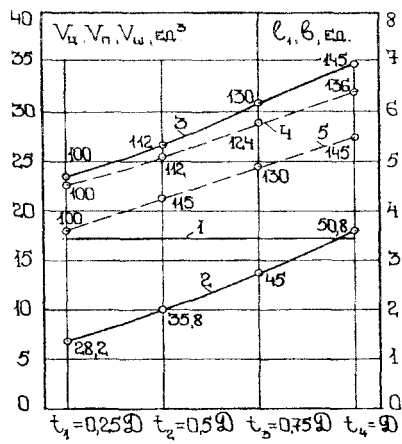


Рис.2 – Зависимость V_u , V_n , V_w , b , $L_1 = f(t)$ при $A_u = 1$; $n = 3$:

1 – объем цилиндрических шпуров $V_u = \text{const}$; 2 – объем перемычек V_n (цифры на графике даны в процентах от V_w); 3 – объем шпура под плоский анкер $V_w = V_u + V_n$; 4 – ширина плоского анкера b ; 5 – расстояние между центрами крайних цилиндрических шпуров L_1 ; цифры на графиках 3,4,5 даны в процентах

Графики на рис.2 позволяют оценить относительные объемы удаляемого разными способами бетона при образовании шпуров под плоский kleевой анкер, а формулы (1)-(5) – рассчитывать их конкретные величины в зависимости от ширины и толщины анкера, определять межцентровые расстояния между цилиндрическими шпурами и их диаметры.

- Барч И.З. Исследование и опыт внедрения на стройках Минтяжстроя СССР способа закрепления оборудования к фундаментам при помощи гладких болтов и эпоксидного клея // ЦБТИ Минтяжстроя СССР. Реферативный сб. Вып.4. – М., 1972.
- Золотов М.С., Зайцев И.М., Стысин Б.Е. Крепление металлургического оборудования болтами на акриловых kleях // Настройках России. – 1987. – № 2. – С.13-15.
- Черкасский И.Г., Серкова З.В., Ляхович И.А. Закрепление фундаментных болтов силоксановым kleем // Промышленное строительство. – 1979. – № 10. – С.20-22.
- Вишневский П.Ф. Современные методы анкерного крепления в строительстве. – М.: Воениздат, 1981. – 246 с.
- Клименко В.З., Золотов М.С. Применение анкерных креплений на акриловых kleях при реконструкции производственных зданий // Тез.докладов IV Україзької респ. науч.-техн. конф. Сб. 5. – Симферополь, 1988. – С.19-20.

6. Нохрина Л.А., Золотов М.С., Морковская Н.Г. Сокращение затрат, ручного труда при анкероустановочных работах в условиях реконструкции зданий // Коммунальное хозяйство городов: Науч.-техн. сб. Вып.5. – К.: Техника, 1996. – С.23-24.

7. Золотов М.С., Шутенко Л.Н., Золотов С.М., Скляров В.А. Анкерные крепления в бетоне // Коммунальное хозяйство городов: Науч.-техн. сб. Вып.14. – К.: Техника, 1998. – С.50-56.

8. Кутовой Э.Н., Гелега А.В. К вопросу применения анкеров прямоугольного сечения, закрепляемых в бетоне синтетическими kleями // Наук. вісник будівництва. №10. – Харків: ХДТУБА, 2000. – С.76-79.

9. Сергиенко А.И. Разработка и исследование технологии устройства закладных деталей на клеевых анкерах // Дисс. на соиск. уч. степени канд. техн. наук. – Харьков: ПромстройНИИпроект, 1987.

Получено 29.08.2000

УДК 624.138.4

Т.В.МИШУРОВА

Харьковская государственная академия городского хозяйства

РАСЧЕТ ПАРАМЕТРОВ ХИМИЧЕСКОГО ЗАКРЕПЛЕНИЯ ЗАКИСЛОЧЕННЫХ ГРУНТОВ РАСТВОРАМИ СИЛИКАТА КАЛИЯ

Приводится методика расчета названных параметров при восстановлении строительно-экологических свойств грунтов, загрязненных промышленными стоками, содержащими растворы ортофосфорной кислоты, путем их химического закрепления с использованием силикатно-калиево-фосфорнокислой рецептуры.

Известный метод [1], позволяющий осуществлять закрепление грунтовых оснований, загрязненных растворами кислот, включает численный расчет параметров инъецируемых составов. Дальнейшее совершенствование этого метода предусматривает введение следующих параметров времени начала гелеобразования и других, учитывающих влияние температуры окружающей среды:

- нижний и верхний пределы расчетного интервала времени начала гелеобразования t_r^H , t_r^B ;
- время начала гелеобразования минимальное t_r^{min} и допустимое t_r^u ;
- время минимальное технологическое t_r^{tex} ;
- расчетная концентрация кислоты поровых растворов C_k ;
- объемные соотношения исходных компонентов гелеобразующих растворов K/C;
- требуемый объем силиката на 1 м³ закрепляемого грунта (V_c) и др.

Важным фактором, влияющим на надежность получения положительных результатов при химическом закреплении грунтов, является температура образования гелей [2]. Нами получены зависимости, учитывающие влияние температуры на основные параметры инъецируемых составов.